

Fig. 1A

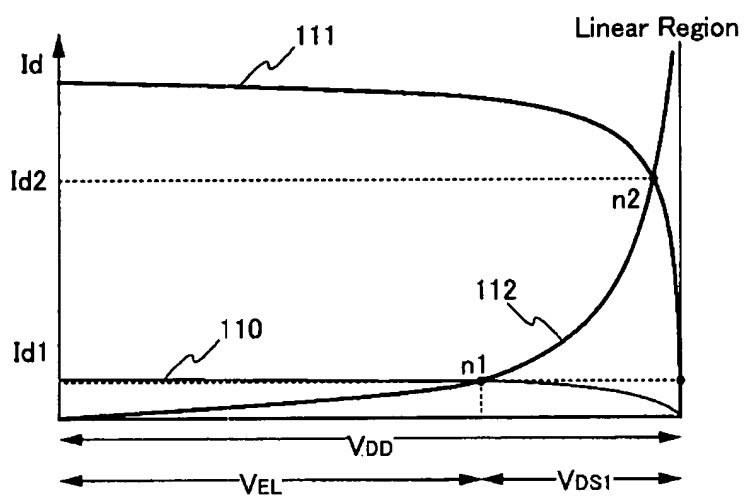


Fig. 1B

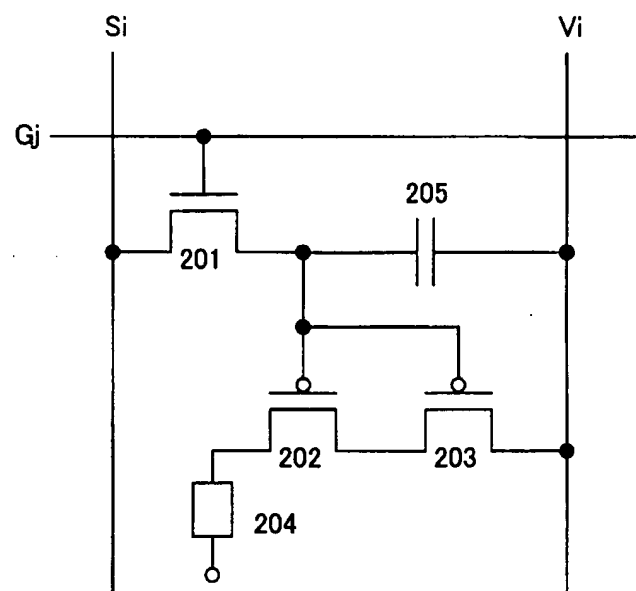


Fig. 2

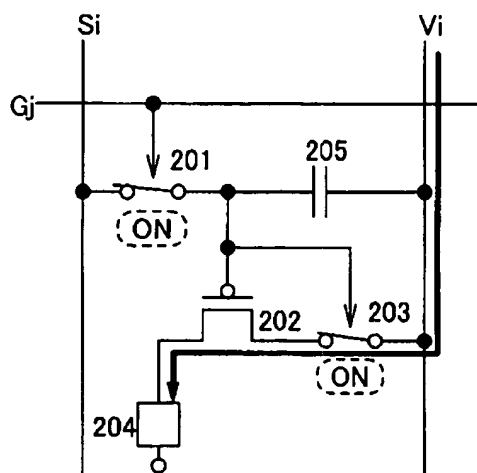


Fig. 3A

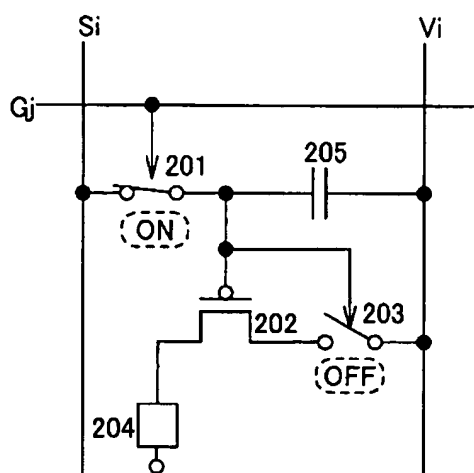


Fig. 3B

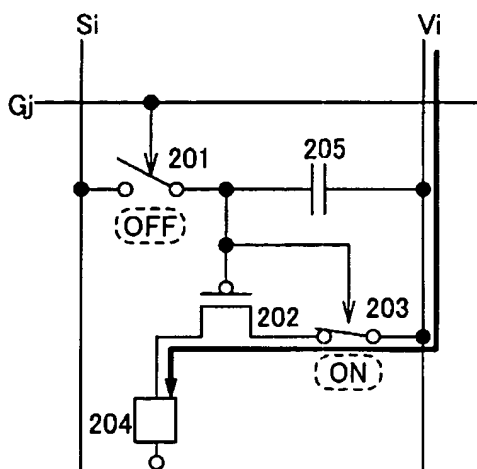


Fig. 3C

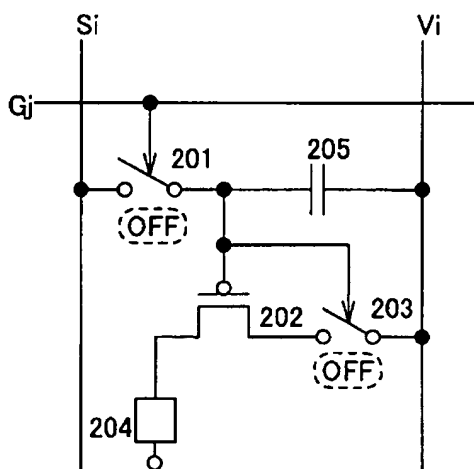


Fig. 3D

Fig. 4A

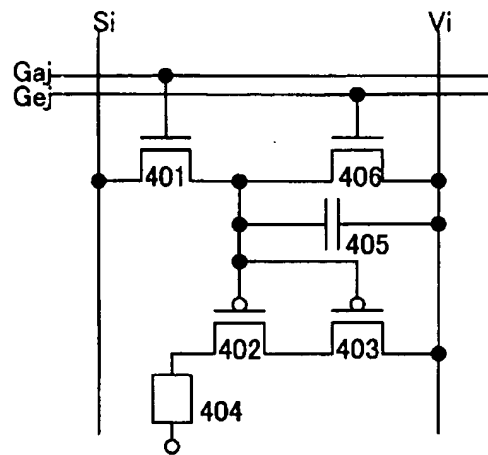
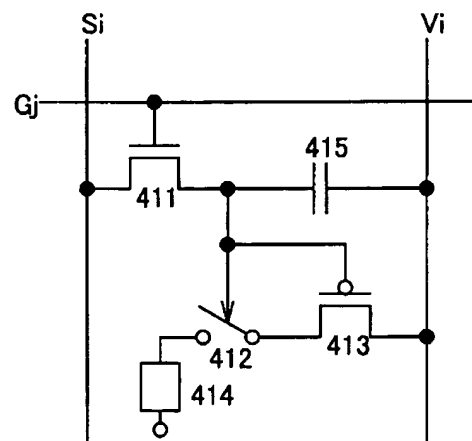


Fig. 4B



BEST AVAILABLE COPY

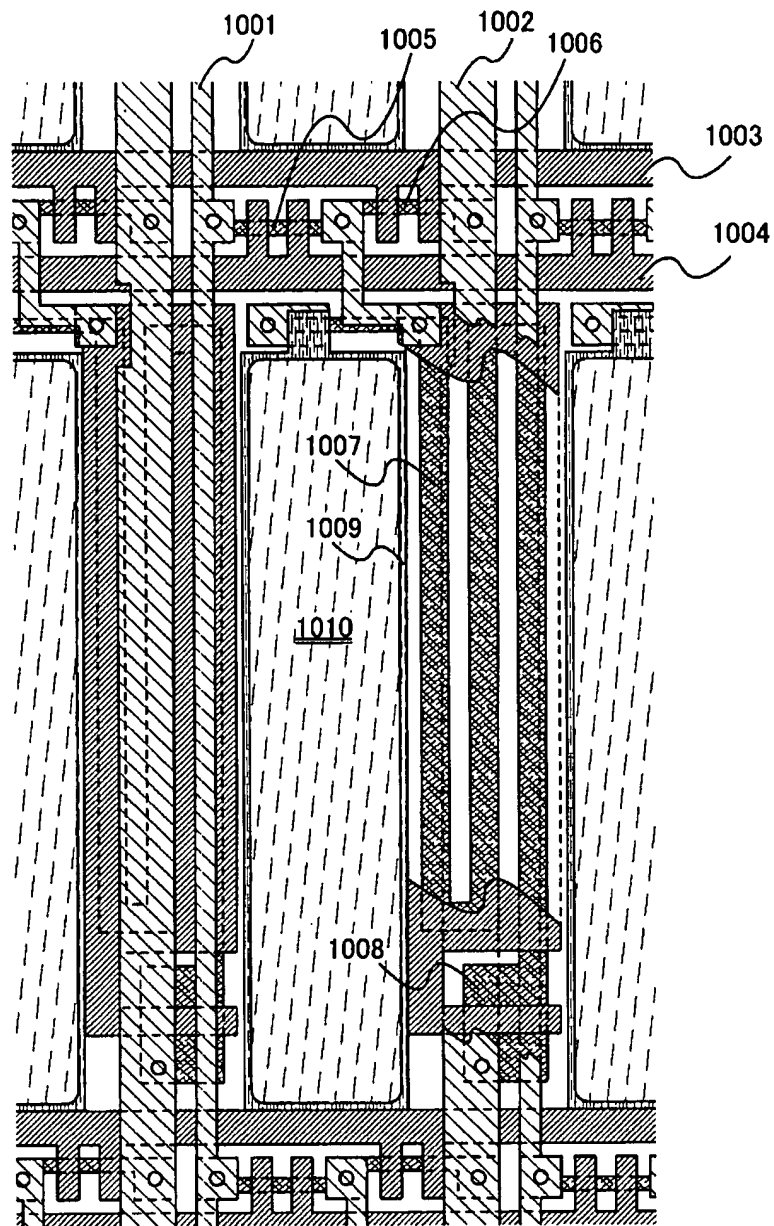


Fig. 5

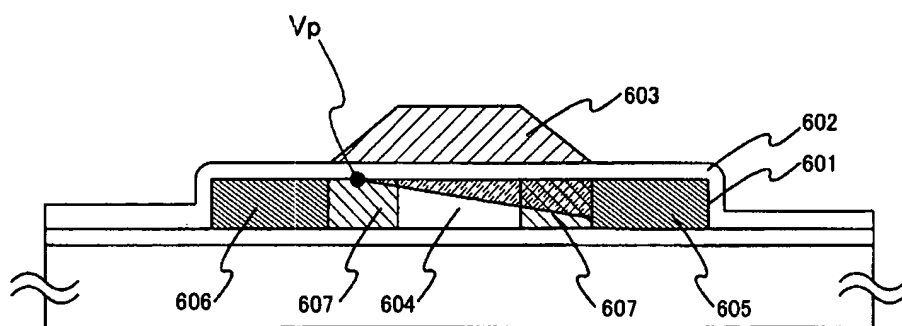


Fig. 6

Fig. 7A

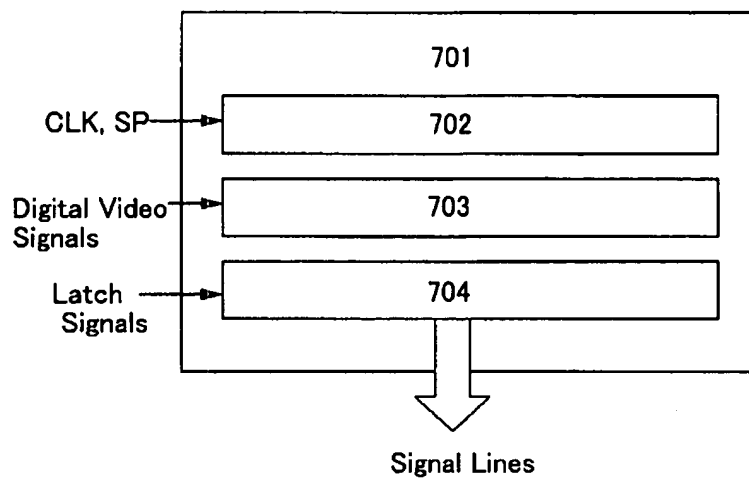
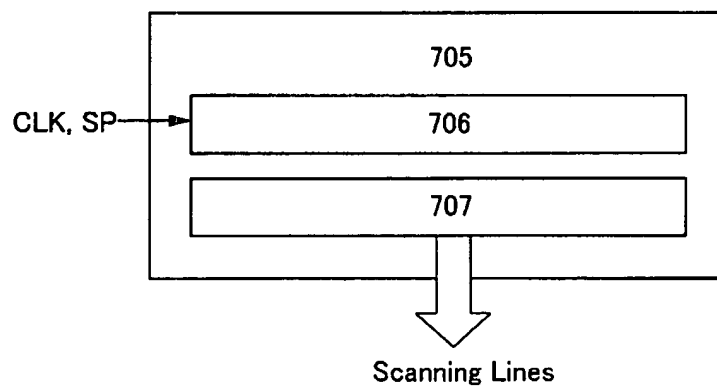


Fig. 7B





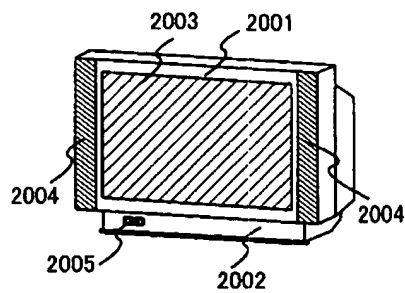


Fig. 9A

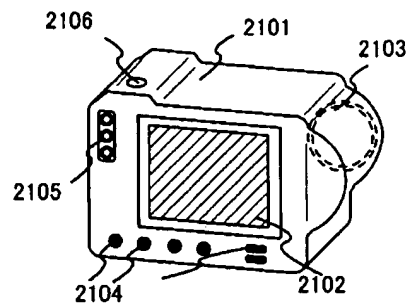


Fig. 9B

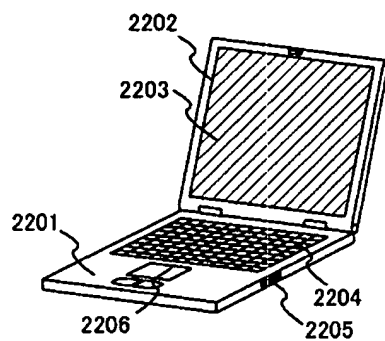


Fig. 9C

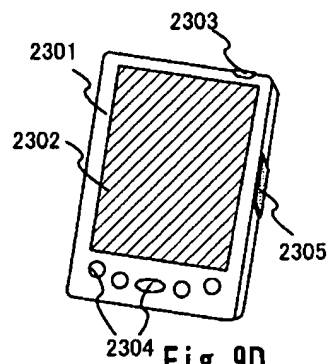


Fig. 9D

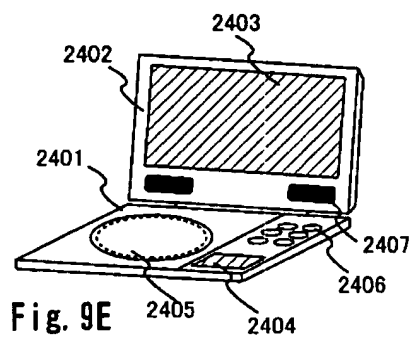


Fig. 9E

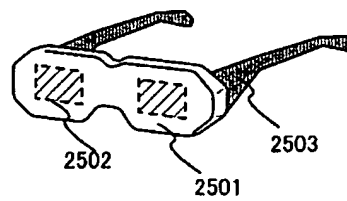


Fig. 9F

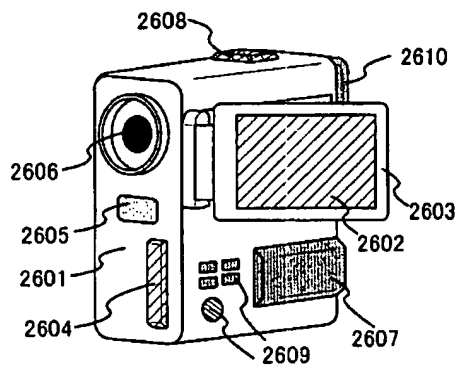


Fig. 9G

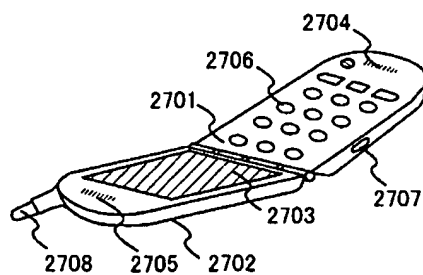


Fig. 9H

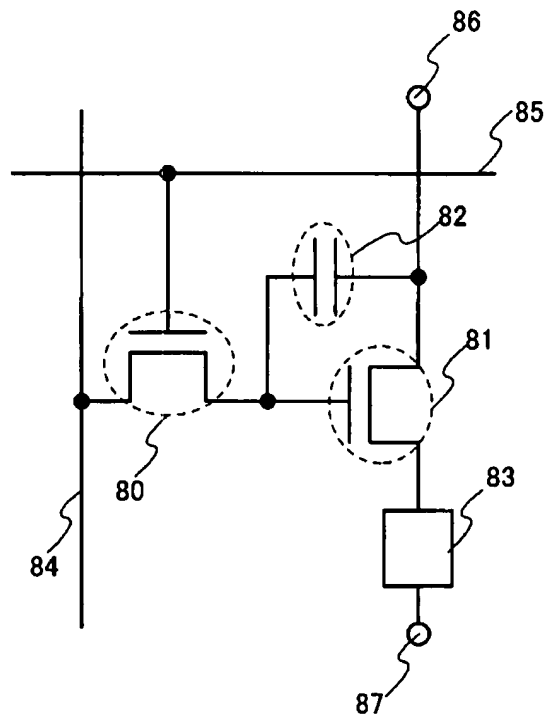


Fig. 10
(Prior Art)

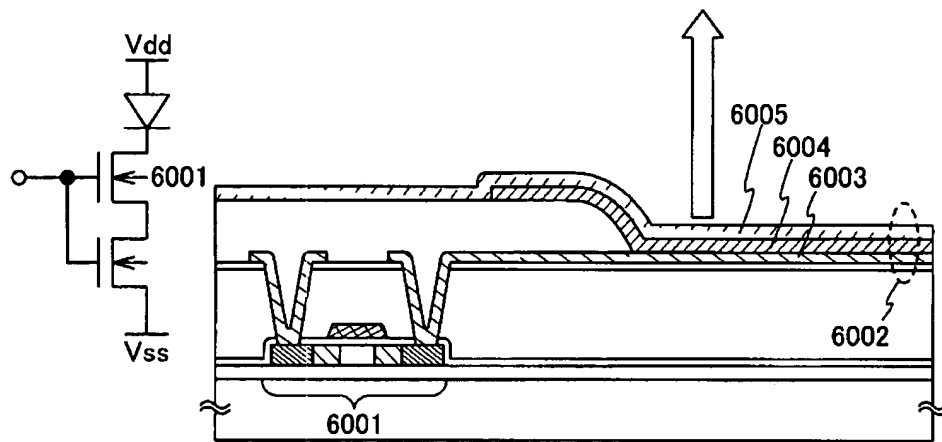


Fig. 11A

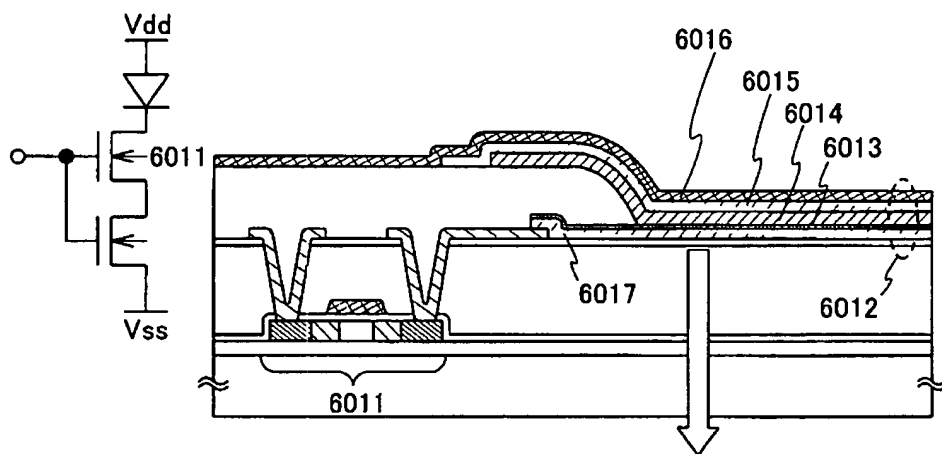


Fig. 11B

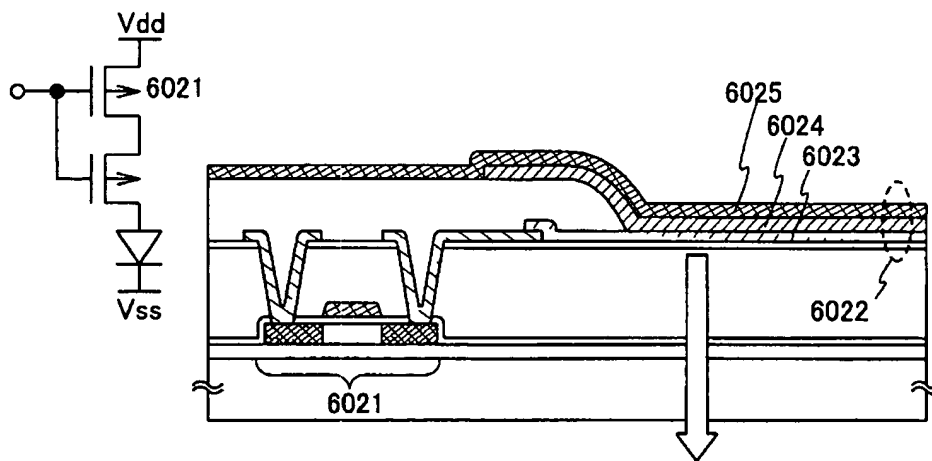


Fig. 12A

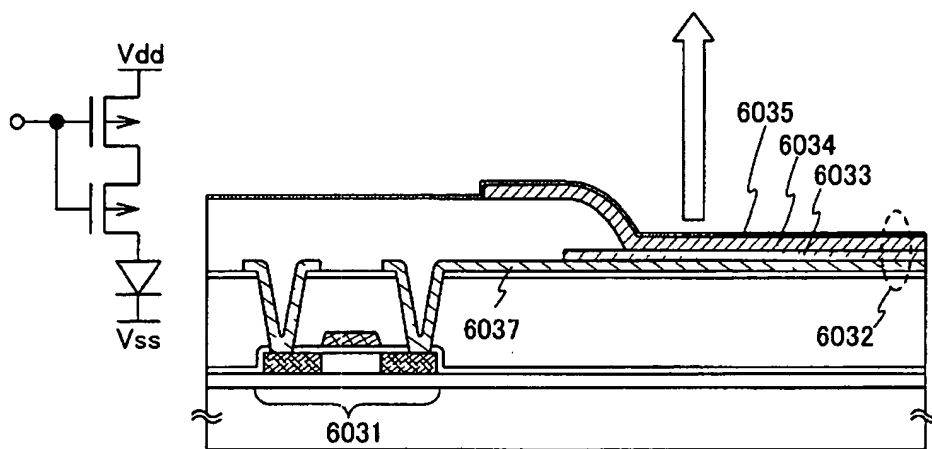


Fig. 12B

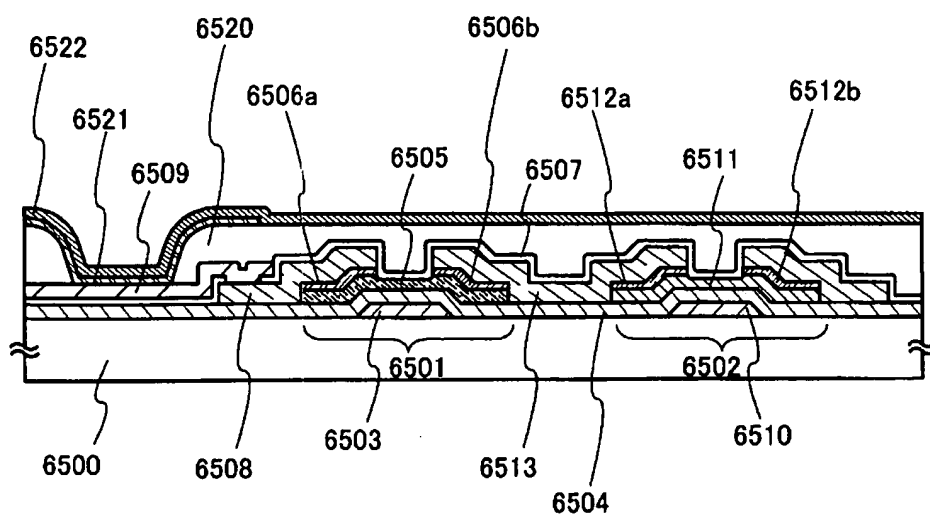


Fig. 13A

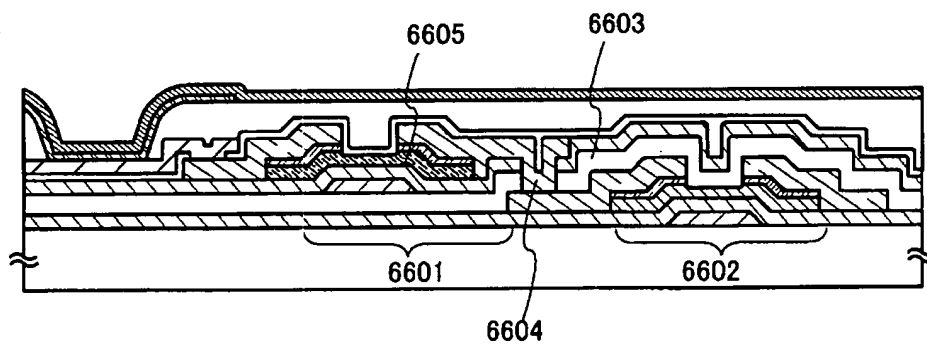


Fig. 13B

Fig. 14A

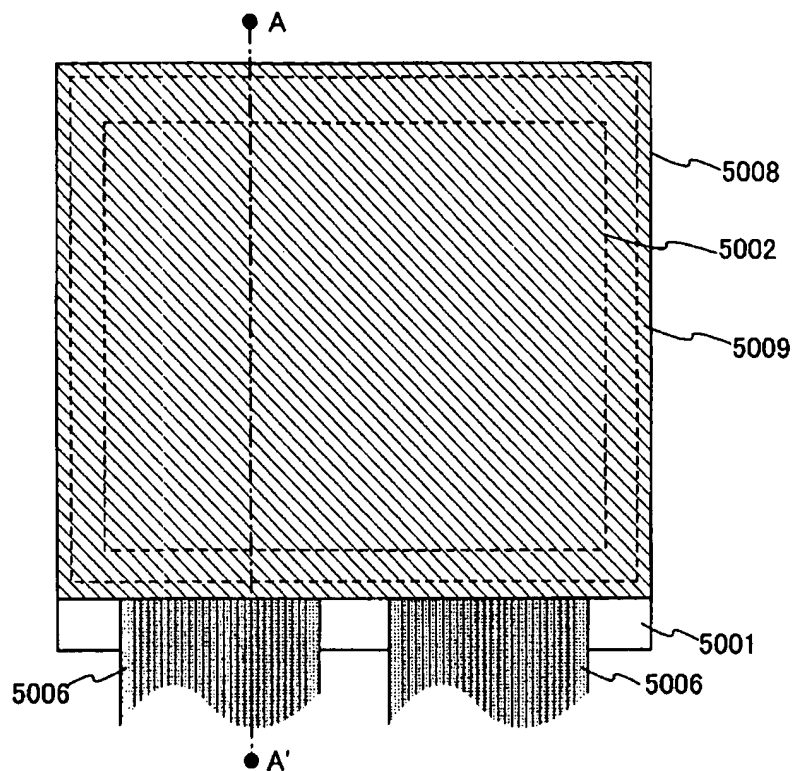
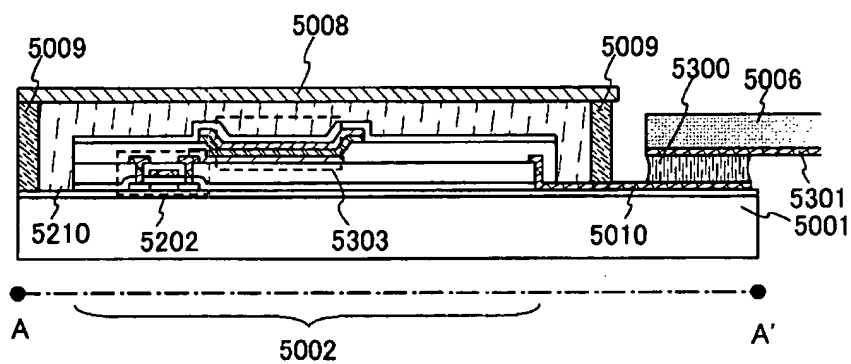


Fig. 14B



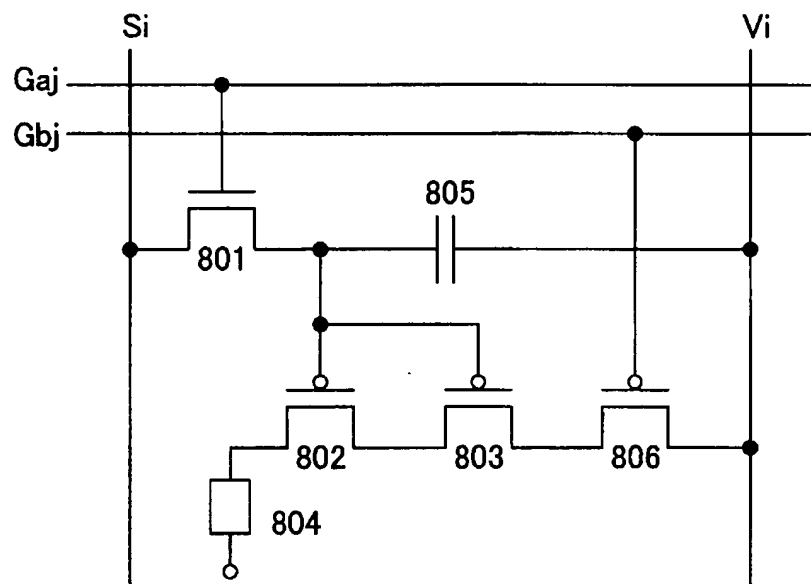


Fig. 15

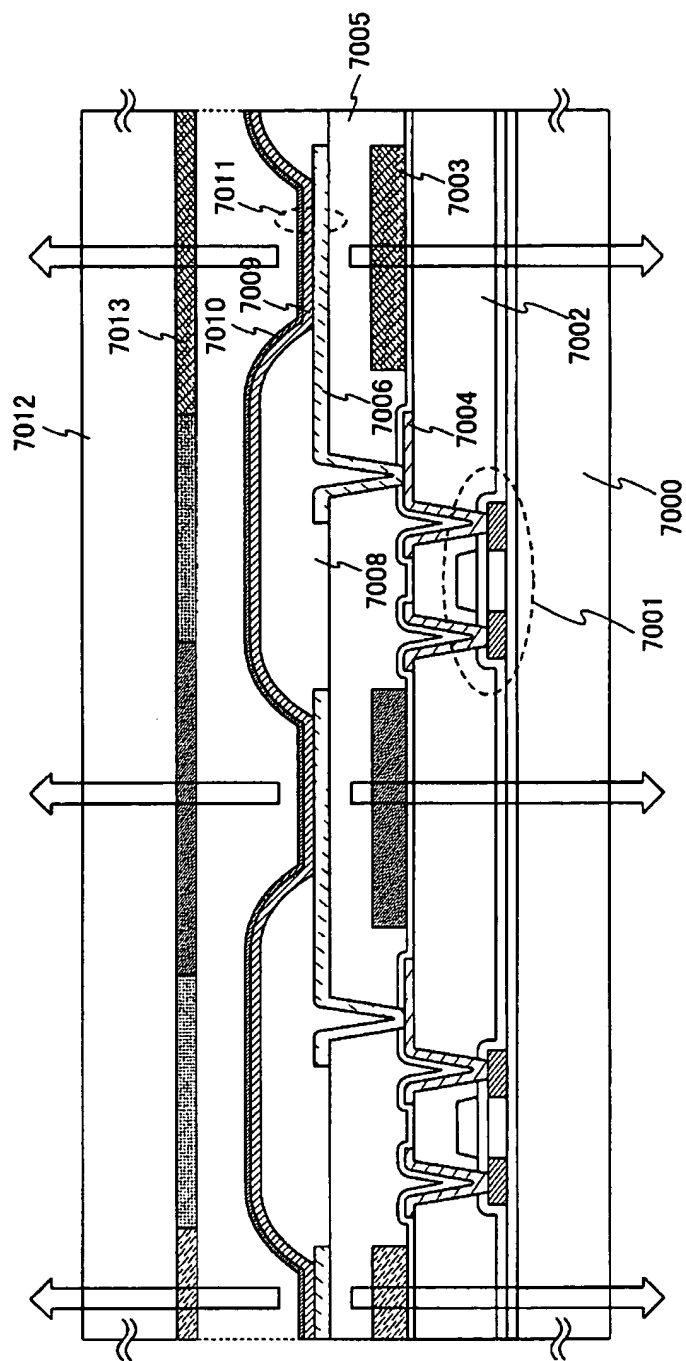


Fig. 16

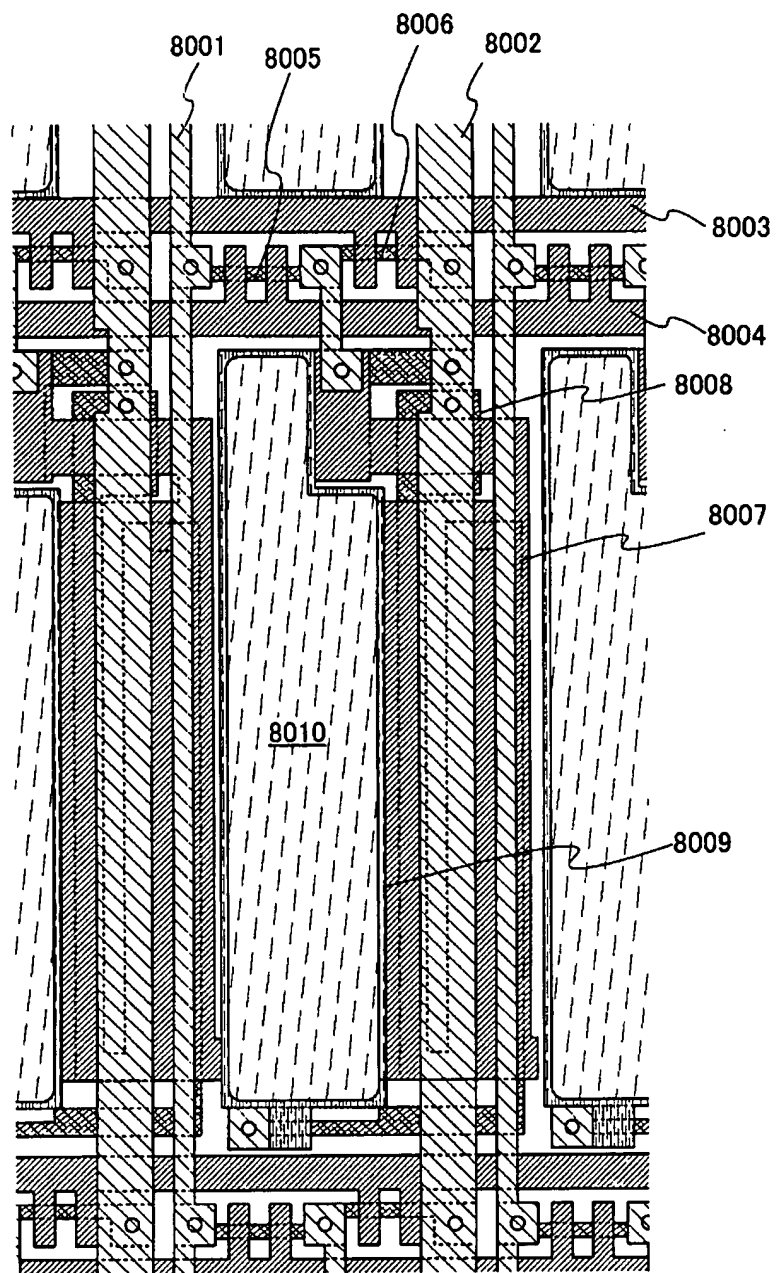


Fig. 17